

## PROSTAT KARSİNOMUNDA PATOLOJİK EVRE VE GRADE İLE ANJİOGENETİK AKTİVİTENİN İLİŞKİSİ

İşin KILIÇASLAN\*, Mine G. GÜLLÜOĞLU\*, Faruk ÖZCAN\*\*, Tarık ESEN\*\*, Afife KAYA\*, Veli UYSAL\*

### ÖZET

Bu çalışmada Anabilim Dalımızda incelenmiş ve random olarak seçilmiş 63 radikal prostatektomi materyalinde tümör mikrodamar yoğunluğunun patolojik evre parametreleri ve grade ile korelasyonu araştırıldı. İmmünohistokimyasal yöntemle anti-CD34 antikor kullanılarak işaretlenen mikrodamarlar en sık oldukları bölgede 5 büyük büyütme alanında sayılıp, ortalama değer alınarak anjiogenez indeksi (AI) belirlendi. Kapsül invazyonu görülen vakalarda ( $n=47$ ) AI ortalaması  $58.4 \pm 20.01$ , kapsül negatif vakalarda ( $n=16$ )  $52.3 \pm 29.9$  olarak belirlendi ( $p=0.02$ ). Vezikula seminalis invazyonu gösteren 15 vakada  $66.1 \pm 18.5$  olarak saptanın AI ortalaması, invazyon olmayan 48 vakada  $54.0 \pm 23.5$  olarak saptandı ( $p=0.048$ ). Sonuç olarak AI ile kapsül invazyonu arasında anlamlı bir ilişki olduğu, vezikula seminalis invazyonu ile AI arasındaki korelasyonun ise sınırlı anlamlı olduğu belirlendi. Diğer taraftan cerrahi sınır ve lenf ganglionu pozitivitesinin AI'den bağımsız olduğu sonucuna varıldı. Gleason skoru 6 ve altında olan grup ile 7 ve üstündeki olan grubun anjiogenetik aktiviteleri arasında korelasyon saptanmadı. Değişik çalışmalarla evre ve grade ile AI arasında ilişki saptanırken, bu yönde çelişkili sonuçlar elde eden çalışmalar da vardır. Birçok çalışmada ise AI ile radikal prostatektomi sonrası progresyon arasında korelasyon saptanmıştır. Bu grubu içeren hastaların прогнозları ile ilişki bu ön çalışmanın devamı niteliğinde sürdürülmektedir.

**Anahtar Kelimeler:** Prostat karsinomu, angiogenesis.

### SUMMARY

**The relationship between the tumor angiogenesis, pathologic stage and the tumor grade in prostate carcinoma.** In this research, the correlation between the tumor microvessel density and the parameters of the pathologic stage and grade of the prostate carcinoma was investigated on 63 radical prostatectomy materials examined and reported in our department. The tumoral microvessels were immunohistochemically highlighted using anti-CD34 antibody, and counted in 5 high power field in which they were most intense. We determined the angiogenesis index (AI) by taken their mean values. The mean AI value was  $58.4 \pm 20.1$  in tumors with capsule invasion ( $n=47$ ), and  $52.3 \pm 29.3$  in tumors without capsule invasion ( $n=16$ ) ( $p=0.02$ ). In 15 cases with seminal vesicle invasion, the mean AI value was  $66.1 \pm 18.5$  whereas in 48 cases without invasion the mean was  $54.0 \pm 23.5$  ( $p=0.048$ ). We conclude that there is a significant relation between the angiogenesis and the capsule invasion of the tumor. We found a quiet significance between the AI and the seminal vesicle invasion. The both surgical margin positivity and the lymph node positivity were found to be independent from the AI. There was no correlation between the mean AI values of the group which had a Gleason score of 6 and under and that of the group having a Gleason score of 7 and above. It has been revealed that the mean AI value correlated with the tumor grade and the tumor stage in various research. However there are others reporting conflicting results on the same ground. On the other hand, many authors have found that there was a correlation between the AI and tumor progression after radical prostatectomy. This preliminary study is being followed by a new one in which the relationship between the AI and the survival of the same patient population is further investigated.

**Key Words:** Prostate carcinoma, angiogenesis.

## GİRİŞ

Erkeklerde en sık rastlanan malign tümör olan prostat karsinomunun insidansı yaşla birlikte artmaktadır. Gerek toplum nüfusunu yaşlanması gerekse her geçen gün biraz daha gelişen tarama yöntemleri sayesinde, bu tümör çok erken evrelerde de saptanmaya başlamıştır. Tanı veya tedavi sonrası çoğu hastada tümör progresyonu gözlenmezken, bir grup hastada ise hızlı ve erken progresyon görülmektedir. Bu farklılıklar açıklayabilmek için denenen prognostik parametrelerden biri de anjiogenetik aktivitedir. Anjiogenetik aktivitenin özellikle evreleme ve прогноз ile ilişkisi ve bu parametrelerinigne biyopsilerinde de kullanılarak tedaviyi yönlendirmeye katkısı belirlenmeye çalışılmaktadır<sup>(4,8)</sup>. Çalışmamızda anjiogenetik aktivitenin histolojik grade ve radikal prostatektomide saptanan patolojik evre parametreleri ile ilişkisi araştırılmıştır.

## MATERIAL ve METOD

1995-1998 yılları arasında incelemeleri anabilim dalımızda yapılmış radikal prostatektomi materyalleri arasından randomize olarak seçilen 63 vaka çalışma kapsamına alındı. Çalışmaya dahil edilen vakaların, daha önceden rutin incelemesi yapılmış olan Hematoksilen-Eozin boyalı preparatları arşivden çıkarılarak 40X ve 100X büyütme yerde yeniden incelendi. Tümördeki damar yoğunluğunun en fazla olduğu gözlemlenen dokuları içeren parafin bloklar, arşivden çıkarılarak, poly-L-lizin ile kaplı lamlara 3-4 mikron kalınlığında kesitler alındı. Deparafinizasyon ve dehidratasyonun ardından, antijen unmasking amacıyla pH6 sitrat solüsyonu içerisinde 2 dakika süreyle 1 atm basınçta kaynatılan kesitler, daha sonra dokudaki endojen peroksidaz aktivitesini inhibe etmek amacıyla % 3 hidrojen peroksit ile 20 dakika işleminden geçirildi. Bu kesitler

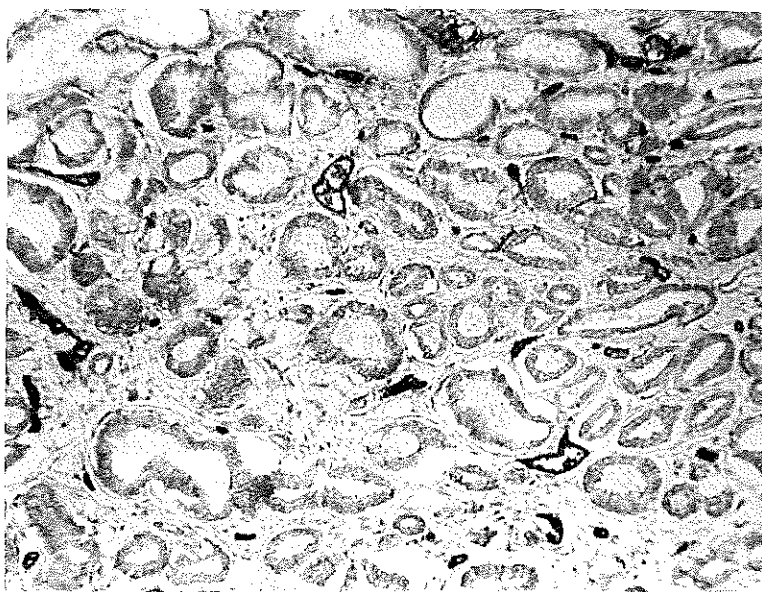
endotel hücre belirleyicisi olan antiCD34 monoklonal antikoru (QB-End/10; Nova-Castr Lab, Newcastle, İngiltere) ile 1/25 dilusyonda, oda sıcaklığında, 1 saat süreyle inkübe edildi. 25 dakikalık sekonder antikor, biotinlenmiş keçi anti-fare immunglobulin (UltraVision, LabVision Corp, Union City, CA, ABD) ve 25 dakikalık peroksidaz konjuge streptavidin (UltraVision Streptavidin/HRP, LabVision Corp. Union City, CA, ABD) inkübasyonunun ardından, kesitler AEC (3-amino 9-etilkarbazol) kromojen sistemi (LabVision Corp, Union City, CA, ABD) ile renklendirildi. Tüm aşamalar arasında kesitler PBS (phosphate-buffered saline) solüsyonu ile yıkandı. Zıt boyaya olarak Mayer Hematoksilen kullanıldı.

Damarlar antiCD34 monoklonal antikoru ile immuhistokimyasal olarak işaretlendikten sonra, kesitlerin geneli 40X ve 100X büyütmeleri ile incelenerek en fazla damar içeren tümör alanları (sıcak noktalar) belirlendi. Bu bölgelerde bulunan damarlar 400X büyütme ile 5 alanda sayıldı. Çift başlı mikroskop ile iki araştırmacı (IK, MGG) tarafından aynı anda yapılan sayım sırasında lumen varlığına bakılmaksızın pozitif boyanma gösteren hücreler ve hücre toplulukları değerlendirildi. Daha sonra her alanın sayım sonucu toplanarak ortalama değer alındı. Bu değer anjiogenez indeksi (AI) olarak kabul edildi. İnceleme Olympus BH-2 model çift başlı mikroskop ile yapıldı. Bu modelde bir büyük büyütme alanı (1 BBA=40X objektif + 10X oküler=400X) 0.2 mm<sup>2</sup>'ye eşittir. Toplam 5 BBA'daki damarlar sayıldığından değerlendirme 1 mm<sup>2</sup>'lik bir bölgede yapılmıştır.

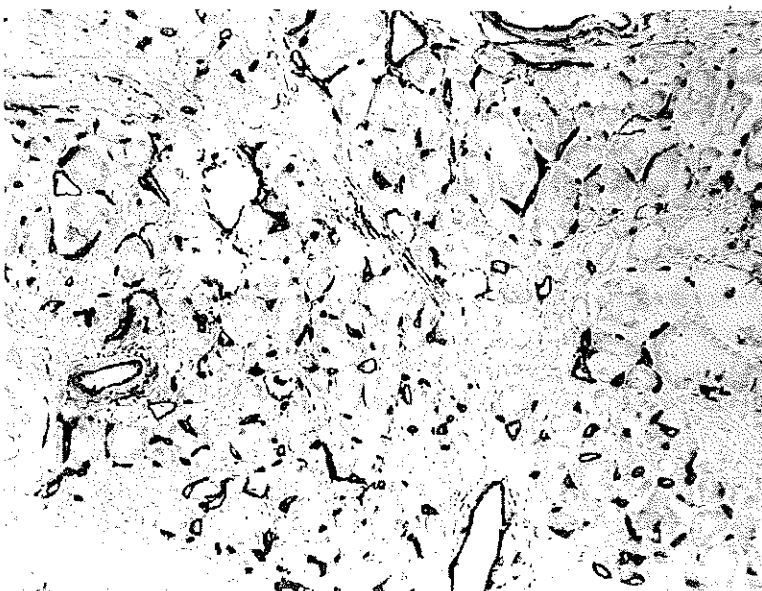
## BULGULAR

Yaş ortalaması 65.5 olan 63 hastanın yaş dağılımı 49 ile 84 arasında değişmekteydi. 63 vakanın tamamı değerlendirildiğinde, 20.1 ile 117.6 arasında değişen AI'nın ortalaması

Resim 1. Anjiogenez indeksi ortalamanın altında olan bir vakaya ait örnek alan (Anti CD34 antikoru x125).



Resim 2. Anjiogenez indeksi ortalamanın üstünde olan bir vakaya ait örnek alan (Anti CD 34 antikoru x125).



$56.89 \pm 22.92$  idi. En sık rastlanan Gleason paterni 3 ( $n=54$ , % 85.7) olup, 5 ile 9 arasında değişen patern skoru, vakaların 25'inde (% 39.68) 6 idi. Patern skorunun 41 (% 65) vakada 6 ve altında olduğu dikkati çekmekteydi. Bu grupta Aİ ortalaması  $56.15 \pm 20.7$  iken, patern skorunun 7 ve üzerinde olduğu

22 vakalık grupta Aİ ortalaması  $60.09 \pm 26.1$  idi. İki grup arasında angiogenetik aktivite açısından anlamlı fark saptanmadı ( $p > 0.05$ ). Aİ ortalaması, kapsül invazyonu saptanmış olan 47 vakada  $58.4 \pm 20.1$ , kapsül pozitivitesi olmayan 16 vakada  $52.3 \pm 29.9$  olarak belirlendi ( $p=0.02$ ). Cerrahi sınır pozitifliği

saptanan 16 vakada  $61.5 \pm 19.5$  olan Aİ ortalaması, cerrahi sınırları negatif olan 47 vakada  $55.3 \pm 23.9$  idi. Bu fark istatistiksel olarak anlamlı bulunmadı ( $p > 0.05$ ). Vesiküla seminalis invazyonu belirlenen 15 vakada,  $66.1 \pm 18.5$  olan Aİ ortalaması, invazyon görülmeyen 48 vakada  $54 \pm 23.5$  olarak saptandı ( $p = 0.48$ ). Bu sonuç sınırla anlamlı kabul edildi. Aİ ortalaması, lenf gangliyonu metastazı gösteren 4 vakada  $50.1 \pm 25.8$  iken, metastazı olmayan 59 vakada  $57.3 \pm 22.8$  idi ( $p > 0.05$ ).

## TARTIŞMA

Kanser nedeni ölümlerden sorumlu tümörler arasında ikinci sırada gelen prostat karsinomu erkeklerde en sık saptanan malign tümördür. Bu kadar önemli bir yerde bulunmakla birlikte, gerçekte çok daha sık oranlarda bulunduğu kabul edilmektedir. Otopsi serilerinde 80-89 yaş arasındaki kişilerde % 71 oranında prostat karsinomu belirlenmektedir (5,8,11). Tümörlerin çoğu, tarama programları çerçevesinde erken dönemde insidental olarak belirlenmekte ve bu tümörlerin malignite potansiyeli kesin olarak bilinmemektedir. Bu vakalarda gereksiz tedavileri önlemek ve bazen çok aggressif seyredebilen tümörleri ayırmak için yeni metodlara gerek duyulmaktadır. Patolojik evre mükemmel bir прогноз göstergesi olmasına karşın preoperatif tam olarak değerlendirilememektedir. Özellikle ekstraprostatik yayılım, ancak radikal prostatektomi materyalinde belirlenebilmekte ve diğer görüntüleme yöntemleri bunu kesin olarak gösterememektedir. Malign potansiyeli saptayabilmek için değişik parametreler kullanılmaktadır. Ancak bunlar da tek tek hastalar için yeterli olamamaktadır. Tümör anjiogenezi yeni bir prognostik belirleyici olarak henüz deneme aşamasındadır.

Tümör büyümeye ve metastazı tümör angiogenezi ile ilişkilidir. Neovaskülarizasyon,

tümör hücrelerinden, tümörle ilişkili inflamatuar hücrelerden ve ekstrasellüler matristen salınan faktörlerle uyarılmaktadır (2,7,8).

İlk kez melanomlarla ilgili bir çalışmada angiogenezin metastaz ile ilişkisi vurgulanmıştır. Daha sonra meme karsinomlarında mikrodamar yoğunluğu ile metastaz sıklığı arasında korelasyon olduğu saptanmıştır. Bu çalışmaları mesane ve serviks ile ilgili olanlar izlemiştir (11).

Çalışmamızda arşiv materyalimiz arasından random olarak seçilen 63 vaka değerlendirilmiştir. Vakalarda mikrodamar yoğunluğunun patolojik evre ve histolojik grade ile ilişkisi araştırılmıştır. Gleason sınıflaması kullanılan vakalarda Gleason skoru 2,3 ve 4 olanlar düşük, 5,6 ve 7 olanlar orta ve 8,9 ve 10 olanlar yüksek skorlu gruplar olarak değerlendirilmektedir. Ancak son yıllarda yapılan çalışmalarla özellikle patern 4'ün de gözleendiği vakalarda прогнозun belirgin biçimde kötüleştiği, bu nedenle skoru 7 olan vakaların ayrıca değerlendirilmesi gerekiği vurgulanmaktadır (4). Çalışmamızda bu nedenle vakaları skor 6 ve 6'nın altında olanlar (41 vaka) ile 7 ve 7'nin üzerinde olanlar (22 vaka) olarak iki grupta inceledik. Bu iki grubun anjiogenetik aktiviteleri arasında istatistiksel değerlendirme anlamlı sonuç elde edilmedi. Bu sonucu, ilk grupta vakaların büyük çoğunlığında skorun 6 olmasına, skoru 5'in altında hiçbir vakanın gruba alınmamış olmasına ve grupta skoru 8 ve 9 olan iki vaka bulunmasına bağlamaktayız. Wakui ve arkadaşlarının yaptığı bir çalışmada da yüksek ve orta dereceli skoru olan metastatik vakalarda kemik iliğinde mikrodamar yoğunluğu arasında anlamlı farklılık saptanmamıştır (10). Metastatik olmayan vakalarda primer tümörde yüksek skor ile orta ve düşük skor arasında ise anlamlılık saptanmıştır. Bu nedenle düşük ve orta skorlu vakalarda yüksek mikrodamar yoğunluğunun metastaz için iyi bir gösterge

olabileceği belirtilmiştir<sup>(10)</sup>. Weidner ve arkadaşları ise Gleason skoru 4-5, 6-7 ve 8-9-10 olan gruplar arasında anlamlı farklılık saptamış ve mikrodamar yoğunluğunun özellikle yüksek grade ile giderek artlığına dikkat çekmiştir. Gleason skoru metastaz ile korele olmakla birlikte, multivariate analizlerde Gleason skorunun metastaz için mikrodamar yoğunluğuna ek bir bilgi sağlamağı belirtilmektedir<sup>(11)</sup>. Yine bir çalışmada ise tümör grade' i % 90 oranında organ sınırlı tümörü tanımlayabılırken, organ sınırlı olmayan tümörü % 53 oranında tanımlamaktadır. Mikrodamar yoğunluğu bu veriye eklendiğinde ise bu oran % 85' e ulaşmaktadır. Patolojik evre ile ilgili çalışmalarda organ sınırlı karsinomu olan ve organ sınırlı karsinomu olmayan gruplar arasında parametrelere mikrodamar yoğunluğu eklendikçe anlamlılık artmaktadır<sup>(2)</sup>.

Silbermann ve ark'ın geniş bir seriyi içeren çalışmasında da Gleason skoru 5 ile 7 arasındaki gruplarda patolojik evreler ile anjiogenetik aktivite arasında korelasyon saptanmamıştır, ancak radikal prostatektomi sonrası progresyon ile ileri derecede anlamlılık belirlenmiştir<sup>(9)</sup>.

Çalışmamızda kapsül pozitifliği gösteren ve göstermeyen gruplar arasındaki anjiogenetik indeksi karşılaştırımlarında anlamlı sonuç elde edildi. Vezikula seminalis invazyonu olan ve olmayan gruplar arasında ise sınırdı anlamlılık saptandı. Cerrahi sınır pozitifliğinin değerlendirildiği grupta ise anlamlılık belirlenmedi. Bu sonucun, cerrahi sınır değerlendirilmesindeki yorum sorunlarından ve bir kısım vakada da uygulanan cerrahi teknikten kaynaklandığını düşünmektedir. Lenf ganglionu pozitivitesi saptanan grubumuz çok küçük olması nedeniyle de bu grubun sonuçlarının tam olarak gerçeği yansıtmayacağı görüşündeyiz.

Çalışmamızda HE boyalı tüm kesitler incelemek mikrodamar yoğunluğunun en yük-

sek olduğu sıcak noktalar belirlenmiş ve bu alanları içeren bloklara immünhistokimyasal inceleme uygulanmıştır. Preoperatif bir göstergede olarak kullanılması planlanan bu yöntemde iğne biyopsisi ile örneklenen alanın en yoğun alanı içerip içermediği konusunda soru işaretleri uyannmaktadır. Tümörün ne kadar farklı diferansiyasyon alanları da içerdığı düşünüldüğünde kuşkular daha da artmaktadır. Ancak Brawer iğne biyopsisi sonuçları ile radikal prostatektomide saptanan sonuçların korele olduğunu belirtmektedir<sup>(1,2)</sup>.

Ayrıca değişik çalışmalarda kullanılan yöntemler farklılıklar içermektedir<sup>(6)</sup>. Kullanılan farklı antikorlar, image analysis veya manuel yöntemlerin kullanılması, farklı gözlemler, kesit kalınlığı farklıları, kullanılan değişik model mikroskoplar gibi faktörler standart sayılar ve sonuçlar verilmesini olanaksız hale getirmektedir. Bu nedenle aynı laboratuvarlar, aynı kişiler ve ekip ile o bölümün standardizasyonunu geliştirmesi önem taşımaktadır.

Sonuç olarak; patolojik evrelemeye ek katkısı olabilecek bu parametrenin, özellikle vurgulanan prognostik katkısını kendi vakalarımızda gözlelemek üzere, bu grubun survi ile ilgili sonuçları çalışmanın ikinci ayağı olarak devam etmektedir.

## KAYNAKLAR

1. Brawer MK, Deering RE, Brown M, Preston SD, Bigler SA: Predictors of pathologic stage in prostatic carcinoma. The role of neovascularity. *Cancer* 73:678 (1994).
2. Brawer MK: Quantitative microvessel density. A staging and prognostic marker for human prostatic carcinoma. *Cancer* 78: 345 (1996).
3. Bigler S, Deering RE, Brawer MK: Comparison of microscopic vascularity in benign and malignant prostate tissue. *Hum Pathol* 24:220 (1993).
4. Deskmukh N, Foster CS: Grading Prostate Cancer, Pathology of the Prostate, editörler: Foster CS, Bostwick DG, WB Saunders Comp, 1 Basım (1998) sf.191.
5. Gao X, Porter AT, Grignon DJ, Pontes JE, Honn KV: Diagnostic and prognostic markers for human prostate cancer. *Prostate* 31:264 (1997).

6. Hansen S, Grabau DA, Rose C, Bak M, Sorensen FB: Angiogenesis in breast cancer: A comparative study of the observer variability of methods for determining microvessel density. *Lab Invest* 78:1563 (1998).
7. Norby K: Angiogenesis: new aspects relating to its initiation and control. *APMIS* 105:417 (1997).
8. Siegal JA and Brawer MK: Significance of Neovascularity in Human Prostate Carcinoma, Pathology of the Prostate, editörler: Foster CS, Bostwick DG, WB Saunders Comp. 1 Basım (1998) sf. 384.
9. Silbermann MA, Partin AW, Vilti RW, Epstein JI: Tumor angiogenesis correlates with progression after radical prostatectomy but not with pathologic stage in Gleason sum 5 to 7 adenocarcinoma of the prostate. *Cancer* 79:772 (1997).
10. Wakui S, Furusato M, Takaaki I, Sasaki H: Tumour angiogenesis in prostatic carcinoma with and without bone marrow metastasis: A morphometric study. *J Pathol* 168:257 (1992).
11. Weidner N, Carroll PR, Flax J, Blumenfeld W, Folkman J: Tumor angiogenesis correlates with metastasis in invasive prostate carcinoma. *Am J Pathol* 143:401 (1993).